

УДК 539.376

**РАСЧЕТ ПОЛЗУЧЕСТИ СЛОИСТЫХ БАЛОК-СТЕНОК
РЕГУЛЯРНОЙ СТРУКТУРЫ
ИЗ НЕЛИНЕЙНО-НАСЛЕДСТВЕННЫХ МАТЕРИАЛОВ***

© 2014 г.

А.П. Янковский

*Институт теоретической и прикладной механики
им. С.А. Христиановича СО РАН, Новосибирск*

lab4nemir@rambler.ru

Поступила в редакцию 12.05.2014

На основе алгоритма шагов по времени сформулирована задача неупругого деформирования слоистых балок-стенок типа Тимошенко регулярной структуры. Поведение материалов слоев описывается нелинейно-наследственной теорией ползучести Ю.Н. Работнова. Проведены расчеты неустановившейся ползучести двухпорных изотропных и слоистых балок-стенок.

Ключевые слова: балка, ползучесть, структурная теория, слоистые балки-стенки, нелинейная наследственность, неупругое деформирование, теория Тимошенко.

Все конструкционные материалы, а также фазовые материалы в композитах при длительном нагружении проявляют свойства ползучести [1, 2]. Этим объясняется актуальность изучения ползучести композитных тонкостенных элементов конструкций типа балок, пластиин и оболочек, в частности слоистых балок-стенок регулярной структуры, при их нагружении в поперечном направлении. Для решения таких задач можно воспользоваться нелинейно-наследственной теорией ползучести Ю.Н. Работнова, которая описывает механическое поведение не только полимерных материалов, но и некоторых металлических сплавов и сталей на стадии их упрочнения и установившейся ползучести [1–3 и др.]. Это позволяет описать с единых позиций неустановившуюся ползучесть композитных конструкций, состоящих как из полимерных, так и металлических фазовых материалов. Эффективность применения наследственных теорий для расчета ползучести, например, оболочек с подкрепляющими ребрами продемонстрирована в [4].

В настоящем исследовании разрабатывается методика расчета ползучести слоистых балок-стенок регулярной структуры, поведение фазовых материалов которых подчиняется нелинейно-наследственной теории Ю.Н. Работнова.

Рассматривается балка-стенка, изображенная на рис. 1, имеющая длину L , высоту $2h = \text{const}$ и ширину $B = \text{const}$ (в направлении x_2 , перпендикулярном плоскости рисунка). Балка собрана из регулярно чередующихся в поперечном направлении x_3

* Выполнено при поддержке РФФИ (грант 14-01-00102-а).

тонких слоев постоянной толщины, ее структура в этом направлении считается квазиоднородной.

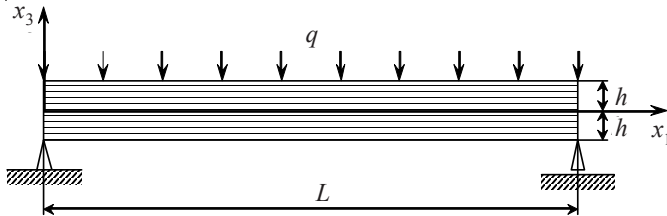


Рис. 1

В статьях [5, 6] было показано, что при изгибе тонкостенных слоистых элементов конструкций регулярной структуры, работающих в условиях установившейся ползучести всех фазовых материалов или в условиях упругопластического их деформирования, необходимо учитывать их ослабленное сопротивление поперечному сдвигу. Очевидно, что эти особенности деформирования необходимо учитывать и при изучении неустановившейся ползучести таких элементов конструкций.

Так как в металло-полимерных композициях жесткости фазовых материалов могут различаться в десятки раз и даже на два порядка, то, как показано в [7–9 и др.], для адекватного описания механического поведения изгибаемых тонкостенных конструкций из таких композиций целесообразно использовать второй вариант теории Тимошенко. Поэтому далее предполагаем, что напряженно-деформированное состояние (НДС) рассматриваемой балки-стенки описывается этой теорией, и осредненные продольное перемещение u_1 , осевая деформация ϵ_{11} и поперечная сдвиговая деформация ϵ_{13} задаются соотношениями (4)–(6) из [10], в которых искомые функции $u_1^0, u_3, \epsilon_{13}^0$ зависят не только от пространственной переменной x_1 , но и от времени t , так как в настоящей работе исследуется неустановившаяся ползучесть балки-стенки.

Используя традиционные статические гипотезы теории изгиба балок, можем записать приближенные равенства

$$\sigma_{33} = \sigma_{33}^{(k)} = 0, \quad \sigma_{22} = \sigma_{22}^{(k)} = 0, \quad \sigma_{12} = \sigma_{12}^{(k)} = 0, \quad 1 \leq k \leq N, \quad (1)$$

где k – номер фазового материала; N – количество фазовых материалов, из которых выполнена слоистая балка регулярной структуры; σ_{ij} – средние напряжения в композиции в пределах представительного элемента; $\sigma_{ij}^{(k)}$ – напряжения в k -м фазовом материале композиции.

Предполагается, что все материалы слоев изотропны и однородны, а их поведение описывается соотношениями нелинейно-наследственной теории ползучести Ю.Н. Работнова [1, 2]:

$$g_{1i}^{(k)}(\epsilon_*^{(k)})\epsilon_{1i}^{(k)} = \sigma_{1i}^{(k)}(t) + \int_0^t K_{1i}^{(k)}(t-\tau)\sigma_{1i}^{(k)}(\tau)d\tau, \quad i = 1, 3, \quad 1 \leq k \leq N, \quad (2)$$

где согласно (1) $\epsilon_{1i}^{(k)}$ ($i = 1, 3$) – нетривиально определяемые компоненты тензора деформаций слоя, содержащего k -й фазовый материал; $\epsilon_*^{(k)}$ – интенсивность деформаций k -го фазового материала (см. (8) в [10]); $g_{11}^{(k)}$ – секущий модуль при растяжении (сжатии) k -го фазового материала; $g_{13}^{(k)}$ – удвоенный секущий модуль при сдвиге k -го фазового материала; $K_{11}^{(k)}(t-\tau), K_{13}^{(k)}(t-\tau)$ – известные разностные яд-

ра ползучести k -го фазового материала при растяжении (сжатии) и сдвиге соответственно.

Равенства (2) хорошо описывают нелинейно-наследственное поведение не только полимерных материалов [1, 2, 11], но и упругопластическую наследственность некоторых металлов на стадии их активного нагружения, например алюминиевых сплавов [3, 12], некоторых марок сталей [1, 12] и др. Ядра ползучести в (2) предполагаются слабосингулярными, т.е. имеют вид [1–3]:

$$K_{li}^{(k)}(t) = t^{-\alpha_{li}^{(k)}} B_{li}^{(k)}(t), \quad 0 \leq \alpha_{li}^{(k)} < 1, \quad i = 1, 3, \quad 1 \leq k \leq N, \quad (3)$$

где $B_{li}^{(k)}(t)$ – регулярные функции (возможно, постоянные).

В настоящем исследовании используем численно-аналитический подход к моделированию нелинейно-наследственного поведения слоистых балок-стенок регулярной структуры, базирующийся на применении метода шагов по времени [1, 4, 13]. Будем искать решение рассматриваемой задачи в дискретные моменты времени, предполагая, что в моменты времени t_m ($m = 0, 1, 2, \dots, n$) решение уже известно, т.е. с учетом (1) известны значения величин

$$\sigma_{li}^{(k)}(t_m), \quad \varepsilon_{li}^{(k)}(t_m), \quad i = 1, 3, \quad 1 \leq k \leq N. \quad (4)$$

Используя (2)–(4), построим определяющие соотношения для рассматриваемой композиции в момент времени

$$t_{n+1} = t_n + \Delta_{n+1}, \quad n = 0, 1, 2, \dots, \quad (5)$$

где Δ_{n+1} – шаг по времени (возможно, переменный). Для этого сначала аппроксимируем функцию $B_{li}^{(k)}(t_{n+1} - \tau)\sigma_{li}^{(k)}(\tau)$ (см. (2) с учетом (3), (4)) линейно на интервале $t \in [t_m, t_{m+1}]$, т.е. зададим

$$B_{li}^{(k)}(t_{n+1} - \tau)\sigma_{li}^{(k)}(\tau) = \frac{t_{m+1} - \tau}{t_{m+1} - t_m} B_{li}^{(k)}(t_{n+1} - t_m) \sigma_{li}^{(k)} - \frac{t_m - \tau}{t_{m+1} - t_m} B_{li}^{(k)}(t_{n+1} - t_{m+1}) \sigma_{li}^{(k)}, \\ i = 1, 3, \quad t \in [t_m, t_{m+1}]. \quad (6)$$

Подставим (3) в равенства (2) и учтем (6), тогда, используя аддитивное свойство интеграла и обозначения (4), приближенно вычислим [14] правые части в (2) в момент времени t_{n+1} :

$$g_{li}^{(k)} \begin{pmatrix} n+1 \\ \varepsilon_*^{(k)} \end{pmatrix} \varepsilon_{li}^{(k)} = b_{li}^{(k)} \sigma_{li}^{(k)} + s_{li}^{(k)}, \quad i = 1, 3, \quad 1 \leq k \leq N, \quad (7)$$

где

$$b_{li}^{(k)} = \begin{cases} 1, & n+1 = 0, \\ 1 + \frac{n+1, n}{\gamma_{li}^{(k)}}, & n+1 \geq 1, \end{cases} \quad s_{li}^{(k)} = \chi_{li}^{(k)} \sigma_{li}^{(k)} + \sum_{m=0}^n \left(\frac{n+1, m}{\gamma_{li}^{(k)}} \sigma_{li}^{(k)} + \frac{n+1, m}{\chi_{li}^{(k)}} \sigma_{li}^{(k)} \right), \\ \gamma_{li}^{(k)} = \frac{B_{li}^{(k)}(t_{n+1} - t_{m+1})}{t_{m+1} - t_m} \left[S_{li[2]}^{(k)} - (t_{n+1} - t_m) S_{li[1]}^{(k)} \right], \\ \chi_{li}^{(k)} = \frac{B_{li}^{(k)}(t_{n+1} - t_m)}{t_{m+1} - t_m} \left[(t_{n+1} - t_{m+1}) S_{li[1]}^{(k)} - S_{li[2]}^{(k)} \right], \\ S_{li[l]}^{(k)} = \frac{1}{l - \alpha_{li}^{(k)}} \left[(t_{n+1} - t_{m+1})^{l - \alpha_{li}^{(k)}} - (t_{n+1} - t_m)^{l - \alpha_{li}^{(k)}} \right], \quad l = 1, 2, \quad i = 1, 3. \quad (8)$$

Согласно (8), в случае регулярных (например, экспоненциальных) ядер ползучести (при $\alpha_{li}^{(k)} = 0$) интегралы в (2) на интервалах $t \in [t_m, t_{m+1}]$ вычисляются по формуле трапеций [14].

Соотношениям (7) можно придать следующий вид:

$$\sigma_{li}^{(k)} = G_{li}^{(k)} \begin{pmatrix} n+1 \\ \varepsilon_*^{(k)} \end{pmatrix} \varepsilon_{li}^{(k)} + p_{li}^{(k)}, \quad i = 1, 3, \quad 1 \leq k \leq N, \quad (9)$$

где

$$G_{li}^{(k)} \begin{pmatrix} n+1 \\ \varepsilon_*^{(k)} \end{pmatrix} = \frac{g_{li}^{(k)} \begin{pmatrix} n+1 \\ \varepsilon_*^{(k)} \end{pmatrix}}{n+1}, \quad p_{li}^{(k)} = -\frac{s_{li}^{(k)}}{n+1}, \quad i = 1, 3, \quad 1 \leq k \leq N. \quad (10)$$

$n+1$

Величины $p_{li}^{(k)}$ в соотношениях (9) можно трактовать как начальные напряжения в k -м компоненте композиции в момент времени t_{n+1} , причем согласно (8), (10), (4) в этот момент времени они известны.

Следовательно, равенства (9) в момент времени t_{n+1} можно трактовать как определяющие соотношения для k -го фазового материала, механическое поведение которого описывается зависимостями нелинейно-упругого изотропного тела с начальным напряженным состоянием.

Линеаризуем равенства (9), предполагая, что левые части соотношений (2) удовлетворяют достаточным условиям сходимости метода последовательных приближений (см. с. 199 в [15]). Считается, что в момент времени t_{n+1} на некоторой r -й итерации известны приближения деформаций $\varepsilon_{li,r}^{(k)}$ во всех фазовых материалах. Для следующего s -го приближения деформаций $\varepsilon_{li,s}^{(k)}$ и напряжений $\sigma_{li,s}^{(k)}$ будут справедливы линейные соотношения (см. (9)):

$$\sigma_{li,s}^{(k)} = G_{li,r}^{(k)} \varepsilon_{li,s}^{(k)} + p_{li}^{(k)}, \quad i = 1, 3, \quad s = r + 1, \quad 1 \leq k \leq N, \quad (11)$$

где

$$G_{li,r}^{(k)} = G_{li}^{(k)} \begin{pmatrix} n+1 \\ \varepsilon_{*,r}^{(k)} \end{pmatrix}, \quad i = 1, 3, \quad 1 \leq k \leq N; \quad (12)$$

$n+1$

величины $p_{li}^{(k)}$ не зависят от номера текущей итерации s .

Используя традиционный подход к осреднению НДС слоистых сред регулярной структуры [16, 17], можем записать

$$\sigma_{li} = \sum_{k=1}^N \omega_k \sigma_{li}^{(k)}, \quad \varepsilon_{li} = \sum_{k=1}^N \omega_k \varepsilon_{li}^{(k)}, \quad i = 1, 3, \quad (13)$$

где

$$\sum_{k=1}^N \omega_k = 1 \quad (\omega_k > 0, \quad 1 \leq k \leq N); \quad (14)$$

$$\sigma_{13}^{(k)} = \sigma_{13}^{(1)}, \quad \varepsilon_{11}^{(k)} = \varepsilon_{11}^{(1)}, \quad 1 \leq k \leq N; \quad (15)$$

ω_k – относительное объемное содержание слоев k -го компонента композиции в пре-

делах представительного элемента. Равенства (15) являются следствием условий сопряжения НДС элементарных слоев на границах их контактов [17].

На основании (13) с учетом (14), (15) получаем

$$\sigma_{13} = \sigma_{13}^{(k)}, \quad \varepsilon_{11} = \varepsilon_{11}^{(k)}, \quad 1 \leq k \leq N. \quad (16)$$

Подставим (11) в равенства (13), тогда после элементарных преобразований получим

$$\sigma_{1i,s}^{n+1} = G_{1i,r}^{n+1} \varepsilon_{1i,s}^{n+1} + p_{1i,r}^{n+1}, \quad i = 1, 3, \quad s = r+1, \quad r = 0, 1, 2, \dots, \quad (17)$$

где

$$G_{11,r}^{n+1} = \sum_{k=1}^N \omega_k G_{11,r}^{(k)}, \quad \frac{1}{G_{13,r}^{n+1}} = \sum_{k=1}^N \frac{\omega_k}{G_{13,r}^{(k)}}, \quad p_{11,r}^{n+1} = \sum_{k=1}^N \omega_k p_{11,r}^{(k)}, \quad p_{13,r}^{n+1} = G_{13,r}^{n+1} \sum_{k=1}^N \frac{\omega_k p_{13,r}^{(k)}}{G_{13,r}^{(k)}}; \quad (18)$$

$\sigma_{1i,s}^{n+1}$, $\varepsilon_{1i,s}^{n+1}$ – s -е приближения осредненных напряжений и деформаций в слоистой композиции в момент времени t_{n+1} . Согласно (18) величина $p_{11,r}$ в (17) не зависит от номера итерации r .

Равенства (17) с учетом (18) определяют линейные связи между напряжениями и деформациями в композиции на s -й итерации в момент времени t_{n+1} , причем величины $p_{1i,r}$ можно трактовать как осредненные начальные напряжения в композиции.

На основании соотношений (17) можно определить s -е приближения всех внутренних силовых факторов, возникающих в балке при изгибе. В рамках второго варианта теории Тимошенко эти силовые факторы вычисляются по формулам (9), (10) из [10], в которых в соответствии с настоящим исследованием нужно учесть, что

$$\begin{aligned} F_{1i}(x_1) &= \bar{F}_{1i,s}^{n+1}(x_1) - P_{1i,r}^0(x_1), \quad M_{11}(x_1) = \bar{M}_{11,s}^{n+1}(x_1) - M_{11,r}^0(x_1), \\ P_{1i,r}^0(x_1) &= B \int_{-h}^{h,n+1} p_{1i,r}(x_1, x_3) dx_3, \quad M_{11,r}^0(x_1) = B \int_{-h}^{h,n+1} p_{11,r}(x_1, x_3) x_3 dx_3, \\ a_{11} &= G_{11,r}^{n+1}, \quad a_{55} = G_{13,r}^{n+1}, \quad s = r+1, \quad i = 1, 3, \quad 0 \leq x_1 \leq L; \end{aligned} \quad (19)$$

$\bar{F}_{11,s}^{n+1}$, $\bar{F}_{13,s}^{n+1}$, $\bar{M}_{11,s}^{n+1}$ – s -е приближения продольной и поперечной сил и изгибающего момента в сечении x_1 в момент времени t_{n+1} ; $P_{1i,r}^0$, $M_{11,r}^0$ имеют смысл известных на s -й итерации «начальных» силовых факторов.

Также остаются справедливыми равенства (11)–(16) из [10], в которых необходимо учесть введенные обозначения (19). На основе этих соотношений и (4), (6) из [10] с учетом (16), (17) можно определить s -е приближение НДС во всех компонентах слоистой балки регулярной структуры в момент времени t_{n+1} . Если итерационный процесс сошелся с требуемой точностью, то на основании приведенных выше формул можно рассчитать механическое состояние балки в следующий момент времени t_{n+2} и т.д. При этом в (4)–(19) необходимо лишь заменить индексы n на $n+1$.

В качестве примеров рассмотрим неустановившуюся ползучесть шарнирно опертых балок (см. рис. 1) длиной $L = 1$ м, высотой $2h = 14$ см, изготовленных либо из алюминиевого сплава Д16Т, либо из регулярно чередующихся алюминиевых (сплав Д16Т) и стальных (марки 11Н8М18К14Т) слоев. Прикладывается внешняя поперечная нагрузка q в виде функции Хевисайда:

$$q(t) = q_0 \times \begin{cases} 0 & \text{при } t \leq 0, \\ 1 & \text{при } t > 0, \end{cases} \quad q_0 = \text{const} > 0; \quad (20)$$

температура балки $\Theta = 200$ °С.

Так как указанная температура существенно ниже половины температуры плавления стали марки 11Н8М18К14Т, то ее ползучестью можно пренебречь [18]. Механическое поведение стальных слоев при этом предполагается линейно-упругим с характеристиками [19] (см. (2)):

$$\begin{aligned} K_{11}^{(2)}(t) = K_{13}^{(2)}(t) = 0, \quad g_{11}^{(2)} = E^{(2)} = \text{const}, \quad g_{13}^{(2)} = \frac{E^{(2)}}{1 + v^{(2)}} = \text{const}, \\ E^{(2)} = 200 \text{ ГПа}, \quad v^{(2)} = 0,3, \quad \sigma_{0,2}^{(2)} = 3400 \text{ МПа}. \end{aligned} \quad (21)$$

Здесь и далее обозначено: $E^{(k)}$, $v^{(k)}$ – модуль Юнга и коэффициент Пуассона k -го фазового материала; $\sigma_{0,2}^{(2)}$ – условный предел текучести стали 11Н8М18К14Т.

Для алюминиевого сплава Д16Т связь между шаровыми тензорами деформаций и напряжений считается также линейно-упругой [1–3, 15] с характеристиками [3, 19]:

$$E^{(1)} = 64 \text{ ГПа}, \quad v^{(1)} = 0,31, \quad (22)$$

а нелинейно-наследственное поведение при сдвиге и температуре 200 °С задается следующими соотношениями [3] (см. (2), (3)):

$$\begin{aligned} g_{13}^{(1)}(\varepsilon_*^{(1)}) = A_{13}^{(1)}(\varepsilon_*^{(1)})^{m_1-1}, \quad B_{13}^{(1)}(t) = b_{13}^{(1)}(1 - \alpha_{13}^{(1)}) = \text{const}, \\ A_{13}^{(1)} = 3,055 \text{ ГПа}, \quad b_{13}^{(1)} = 0,119 \text{ ч}^{1-\alpha_{13}^{(1)}}, \quad \alpha_{13}^{(1)} = 0,635, \end{aligned} \quad (23)$$

здесь ч – часы.

Относительное объемное содержание фазовых материалов в представительном элементе слоистой балки в расчетах принято таким: $\omega_1 = \omega_2 = 0,5$.

Согласно (8)–(16) величины $G_{1i,r}$, $p_{1i,r}$ в (17) зависят от шага по времени Δ_{n+1} (см. (5)), поэтому следует выяснить, при каком максимальном значении $\Delta_{\max} > 0$ становится несущественной зависимость решения от выбора шага $\Delta_{n+1} \leq \Delta_{\max}$ (в расчетах принято $\Delta_{n+1} = \Delta = \text{const}$, $n = 0, 1, 2, \dots$).

На рис. 2 изображена определенная с учетом (20), (22), (23) зависимость от времени t прогиба центрального сечения изотропной алюминиевой балки-стенки

$$u_3^m(t) = u_3(L/2, t), \quad |u_3^m(t)| = \max_{0 \leq x_1 \leq L} |u_3(x, t)|, \quad (24)$$

рассчитанная при нагрузке $q_0 = 5,5$ МПа и разных шагах по времени Δ . Кривая на рис. 2 рассчитана при $\Delta = 0,1$ ч; круглыми маркерами отмечены точки, полученные при $\Delta = 1$ ч, а квадратными – при $\Delta = 10$ ч.

Из рис. 2 видно, что положения точек, выделенных маркерами, визуально неотличимы от положения точек на сплошной кривой. Такая же особенность наблюдается и на больших интервалах времени при шагах по времени порядка 10 и 100 ч.

Следовательно, при расчетах длительной ползучести (при $t \gg 1$ ч) изгибаемых балок-стенок из сплава Д16Т, механическое поведение которого описывается соотношениями (2), (3), (22), (23), достаточно использовать шаг по времени $\Delta = 1$ ч или $\Delta = 10$ ч и даже $\Delta = 100$ ч (в зависимости от продолжительности исследуемого процесса ползучести). При расчетах кратковременной ползучести [1, 3] целесообразно использовать шаг $\Delta \leq 0,1$ ч. Отметим, что структурная модель, использованная в данном исследовании, позволяет изменять шаг по времени Δ_{n+1} в процессе вычислений. В дальнейших расчетах выбран шаг по времени $\Delta = 10$ ч.

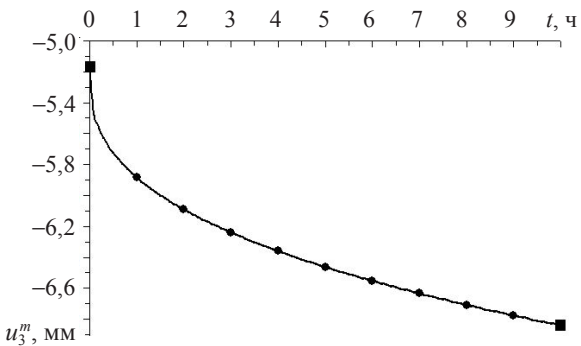


Рис. 2

На рис. 3 приведены расчетные прогибы (24) для изотропной и слоистых балок-стенок при разных уровнях нагружения q_0 (см. (20)). Кривая 1 характеризует прогибы изотропной балки при $q_0 = 5,5$ МПа; кривая 2 – прогибы слоистой балки-стенки при той же нагрузке (с учетом (21)–(23)), кривая 3 – прогибы слоистой балки-стенки при $q_0 = 25$ МПа. Начальный участок кривой 1 при $0 \leq t \leq 10$ ч полностью совпадает с кривой на рис. 2.

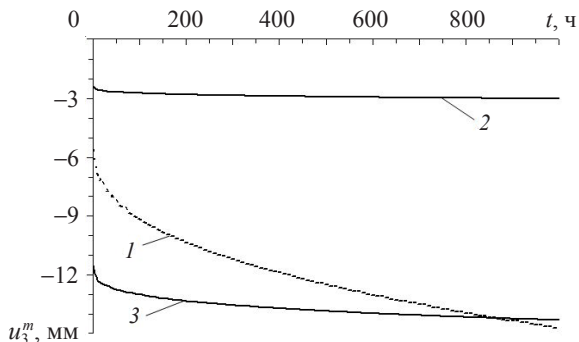


Рис. 3

Сопоставление кривых 1 и 2 свидетельствует о том, что при $q_0 = 5,5$ МПа замена изотропной алюминиевой балки на слоистую балку приводит к резкому уменьшению ее податливости. При этом поведение кривой 2 на рис. 3 визуально почти не отличается от горизонтальной прямой, т.е. слоистая балка по сравнению с изотропной алюминиевой балкой (линия 1) практически не ползет. Сравнение же ординат точек на кривых 1, 3 при $t = 900$ ч показывает, что они примерно равны, т.е. при одной и той же податливости слоистая балка воспринимает нагрузку $q_0 = 25$ МПа в 4,5 раза большую, чем изотропная ($q_0 = 5,5$ МПа).

Для получения некоторого наглядного представления о характере распределения деформаций в фазовых материалах слоистой балки-стенки на рис. 4 изображены проекции фасада шарнирно опертой балки (внешний прямоугольный контур) и поверхностей равного уровня, на которых интенсивность деформаций $\varepsilon_*^{(k)}$ ($k = 1, 2$) имеет постоянные значения в алюминиевых ($\varepsilon_*^{(1)} = \text{const}$) и стальных ($\varepsilon_*^{(2)} = \text{const}$) слоях.

В силу симметрии нагружения и закрепления балки-стенки деформированное состояние в ее слоях симметрично относительно сечения $x_1 = L/2$, поэтому для экономии места на рис. 4 совмещены правые и левые части картин деформирования разных фазовых материалов.

Левые части рис. 4 – картины деформирования алюминиевых, а правые – стальных слоев в слоистой балке типа Тимошенко, определенные при $q_0 = 25$ МПа в начальный момент времени (рис. 4 a) и при $t = 1000$ ч (рис. 4 b). Из рис. 4 видно, что картины деформирования фазовых материалов в слоистой балке-стенке различны. Так, в алюминиевых слоях балки Тимошенко в окрестности опор возникают значительные деформации поперечного сдвига, которые на рис. 4 характеризуются кривыми, имеющими в окрестности сечения $x_1 = 0$ формы, близкие к параболическим, причем эти деформации существенно возрастают в процессе ползучести (ср. левые части рис. 4 a и 4 b). Аналогичные картины деформирования в стальных слоях не наблюдаются (см. правые части рис. 4 a и 4 b).

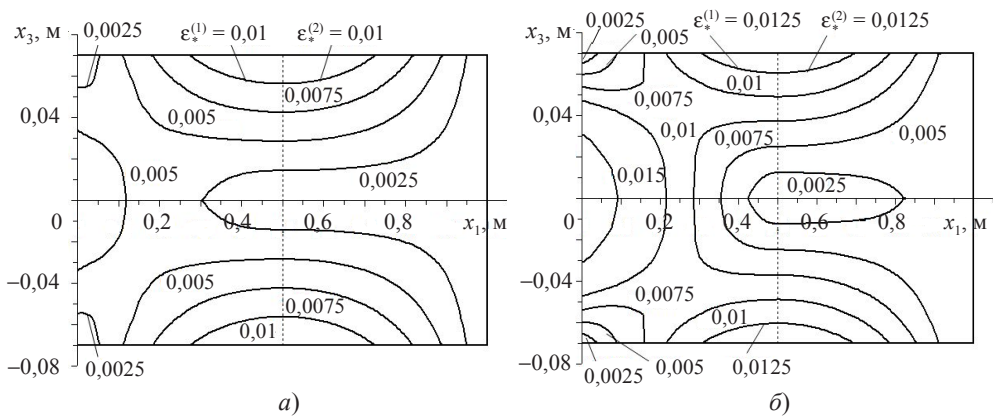


Рис. 4

Особенности поведения кривых на рис. 2, 3 указывают на наличие начальной стадии упрочнения, которая переходит в стадию установившейся ползучести. На этих кривых отсутствуют участки ускоренной ползучести (стадии предразрушения), так как нелинейно-наследственная теория Ю.Н. Работнова (см. (2), (3)) не описывает эту третью стадию ползучести металлических материалов.

В приведенных выше расчетах величины прогибов рассматриваемых балок (см. (24)) не превосходят 1/10 от высоты балки $2h = 14$ см (см. рис. 3), а интенсивности деформаций материалов слоев не превосходят 2% (см. рис. 4), поэтому все результаты, полученные в настоящем исследовании в рамках геометрически линейной постановки задачи, являются вполне корректными. При больших уровнях деформирования необходимо использовать логарифмические деформации и учитывать пластичность стальных слоев [3, 19].

Список литературы

1. Работнов Ю.Н. Ползучесть элементов конструкций. М.: Физматгиз, 1966. 752 с.
2. Работнов Ю.Н. Элементы наследственной механики твердых тел. М.: Наука, 1977. 384 с.
3. Никитенко А.Ф. Ползучесть и длительная прочность металлических материалов. Новосибирск: НГАСУ, 1997. 278 с.
4. Карпов В.В. Прочность и устойчивость подкрепленных оболочек вращения. В 2-х ч. Ч. 2. Вычислительный эксперимент при статическом механическом воздействии. М.: Физматлит, 2011. 248 с.
5. Янковский А.П. Исследование установившейся анизотропной ползучести слоистых металлокомпозитных пластин с учетом ослабленного сопротивления поперечному сдвигу. 2. Модель деформирования // Механика композитных материалов. 2012. Т. 48, № 2. С. 279–302.
6. Янковский А.П. Моделирование упругопластического изгиба металлокомпозитных слоистых пластин регулярной структуры. 2. Уточненная модель деформирования // Вестник Чувашского гос. пед. ун-та им. И.Я. Яковleva. Сер. Механика предельного состояния. 2012. № 3 (13). С. 38–56.
7. Малмайстер А.К., Тамужс В.П., Тетерс Г.А. Сопротивление полимерных и композитных материалов. Рига: Зиннатне, 1980. 571 с.
8. Амбарцумян С.А. Теория анизотропных пластин (прочность, устойчивость и колебания). М.: Наука, 1967. 268 с.
9. Немировский Ю.В., Янковский А.П. О границах применимости некоторых теорий расчета изгибаемых армированных пластин // Научный вестник Новосиб. гос. техн. ун-та. 2004. №3 (18). С. 91–113.
10. Янковский А.П. Исследование упругопластического деформирования армированных балок-стенок с учетом ослабленного сопротивления поперечному сдвигу // Проблемы прочности и пластичности: Межвуз. сб. / Нижегород. ун-т, 2012. Вып. 74. С. 92–103.
11. Goldhoff R.M. The application of Rabotnov's creep parameter // Proc. ASTM. 1961. V. 61. P. 907–919.
12. Turner F.H., Blomquist K.E. A study of the applicability of Rabotnov's creep parameter for aluminium alloy // JAS. 1956. V. 23, No. 12.
13. Радченко В.П., Еремин Ю.А. Реологическое деформирование и разрушение материалов и элементов конструкций. М.: Машиностроение-1, 2004. 264 с.
14. Бахвалов Н.С. Численные методы (анализ, алгебра, обыкновенные дифференциальные уравнения). М.: Наука, 1973. 631 с.
15. Ильюшин А.А. Труды. Т. 3. Теория термовязкоупругости / Составители: Е.А. Ильюшина, В.Г. Тунгускова. М.: Физматлит, 2007. 288 с.
16. Пространственно-армированные композиционные материалы: Справочник / Ю.М. Тарнопольский, И.Г. Жигун, В.А. Поляков. М.: Машиностроение, 1987. 224 с.
17. Янковский А.П. Моделирование упругопластического изгиба металлокомпозитных слоистых пластин регулярной структуры. 1. Структурная модель // Вестник Чувашского гос. пед. ун-та им. И.Я. Яковлева. Сер. Механика предельного состояния. 2012. № 2(12). С. 102–109.
18. Хажинский Г.М. Модели деформирования и разрушения металлов. М.: Научный мир, 2011. 231 с.
19. Композиционные материалы: Справочник / Под ред. Д. М. Карпинова. Киев: Наук. думка, 1985. 592 с.

**CALCULATION OF CREEP OF LAYERED WALL-BEAMS
OF REGULAR STRUCTURE OF NONLINEAR-HEREDITARY MATERIALS**

A.P. Yankovskii

On the base of the algorithm steps in time the problem is formulated for inelastic deformation of laminated beams-wall of Tymoshenko type of regular structure. The behavior of materials layers describes by nonlinear-hereditary Rabotnov's creep theory. The calculations are carried out for unsteady creep of double-beat isotropic and metal-composite beams.

Keywords: beam, creep, structural theory, layered wall-beams, nonlinear heredity, inelastic deformation, Tymoshenko theory.